

مطالعه عددی جابه‌جایی ترکیبی نانو سیال در یک محفظه مربعی با

سقف متحرک و موائع گرم

محمد مهدی دوستدار^۱ و میر کاظم یکانی^۲

دانشگاه جامع امام حسین^(ع)

(تاریخ دریافت: ۱۳۹۲/۴/۲۸؛ تاریخ پذیرش: ۱۳۹۲/۸/۲۰)

چکیده

برای تحلیل جابه‌جایی ترکیبی جریان سیال و انتقال حرارت در نانو سیال درون یک محفظه مربعی شکل زاویه‌دار که دو مانع درون آن وجود دارند، یک روش عددی حجم محدود مورد استفاده قرار گرفته است. تاثیر عدد رایلی، کسر حجمی نانوذرات و ارتفاع موائع داغ مورد مطالعه قرار گرفته است و نتایج به صورت نمودارهای خط جریان، نمودارهای هم‌دما و عدد ناسلت ارائه شده‌اند. در این تحقیق، نانو سیال آب-آلومینا با قطر نانوذرات ۴۰ نانومتر و دمای ۳۰۰ کلوین به عنوان سیال عامل مورد استفاده قرار گرفته است. محدوده مورد استفاده برای عدد رایلی بین 10^4 و 10^5 ، برای کسر حجمی نانوذرات بین ۰ تا ۰/۰۶ و برای ارتفاع مانع بین ۰/۱ تا ۰/۲ طول محفظه می‌باشد. نتایج نشان دادند که افزایش عدد رایلی و همچنین افزایش کسر حجمی نانوذرات سبب افزایش انتقال حرارت درون محفظه می‌شود. همچنین مشخص شد که افزایش ارتفاع مانع داغ سبب کاهش مقادیر ناسلت متوسط می‌گردد. در ضمن برای اعتبار دهی نتایج از مقایسه نتایج تجربی منتشر شده استفاده شده است.

واژه‌های کلیدی: نانو سیال، حل عددی، محفظه، جابه‌جایی ترکیبی

Numerical Study of Mixed Convection of Nano Fluid in a Lid-Driven Cavity Containing Hot Obstacles

M.M. Doustdar and M.K. Yekani

Imam Hossein University

(Received: 19/July/2013; Accepted: 11/November/2013)

ABSTRACT

A finite volume method is used to numerically study the mixed convection of aluminum oxide-water Nano fluid inside a square cavity containing hot quadrilaterals obstacles on its bottom wall. The effects of Rayleigh number, volume fraction of Nano particles and the height of hot obstacles are investigated. The results are shown through streamlines and isotherm curves as well as Nusselt number. The average size of Nano particles and the temperature of Nano fluid are 40 nm and 300 K respectively. The applied range of Rayleigh number is between 10^4 and 10^5 , for volume fraction of Nano particles between 0 and 0.06, and for height of obstacles between 0.1 and 0.2 of the height of cavity. The results show that the increase of Rayleigh number as well as volume fraction of Nano particles will increase the heat transfer inside the cavity. Furthermore, the increase of the height of obstacles reduces the average Nusselt number. A comparison with experiments was made to validate the results.

Keywords : Nano Fluids, Numerical Study, Cavity, Mixed Convection

۱- دانشیار (نویسنده پاسخگو): mdostdar@ihu.ac.ir

۲- کارشناسی ارشد

هوانگ و همکاران^۱ [۱] به مطالعه‌ی انتقال حرارت در یک محفظه‌ی مستطیلی پر شده از نانوسیال آب- اکسیدآلومینیوم به صورت عددی پرداختند. آنها از مدل‌های مختلفی برای ارزیابی ویسکووزیته و ضریب هدایت حرارتی نانوسیال استفاده کردند. ون و دینگ^۲ [۲] بحث و بررسی خود را به بهبود انتقال حرارت در یک محفظه‌ی پرشده از نانوسیال اکسیدنیتیانیوم معطوف نمودند. مطالعه‌ی عددی دیگری بر روی جابه‌جایی طبیعی در یک محفظه دو بعدی پرشده از نانوسیال آب- مس توسط خانافر و همکاران^۳ [۳] انجام شده است. نتایج آنها نشان می‌دهد که در یک گرافیک معین، نرخ انتقال حرارت با افزایش کسر حجمی نانوذرات افزایش می‌یابد. مرور مفصلی در مورد خصوصیات انتقال حرارت در نانوسیالات توسط گادسون و همکارانش^۴ [۴]، سارکار^۵ [۵] و محمد و همکارانش^۶ [۶] صورت پذیرفته است.

جابه‌جایی ترکیبی نوعی از انتقال حرارت است که از ترکیب همرفتی طبیعی و اجباری پدید می‌آید. در جابه‌جایی ترکیبی عدد ریچاردسون معرف میزان تاثیرگذاری همرفتی طبیعی به اجباری است. بر پایه میزان عدد بدون بعد ریچاردسون، مسائل مربوط به جابه‌جایی به سه گونه تقسیم می‌گردند: ۱- جابه‌جایی طبیعی خالص برای اعداد ریچاردسون خیلی بزرگتر از یک، ۲- جابه‌جایی ترکیبی برای اعداد ریچاردسون بین ۰/۱ و ۱۰ و ۳- جابه‌جایی اجباری برای اعداد ریچاردسون خیلی کوچکتر از یک.

انتقال حرارت جابه‌جایی ترکیبی در محفظه‌ها دارای کاربردهای مختلفی از قبیل تهویه‌ی مکان‌های مختلف، تجهیزات خنک‌کننده‌ی الکترونیکی، کلکتورهای خورشیدی و غیره می‌باشد. این نوع انتقال حرارت به دلیل وابستگی بین نیروی برشی ناشی از حرکت دیواره‌ها و نیروی شناوری ایجاد شده توسط اختلاف دما، دارای پیچیدگی‌های بسیاری است. علاوه‌بر آن ضریب هدایت حرارتی پایین خنک‌کننده‌های معمولی نظری آب و روغن، مانع بر سر راه انتقال حرارت در کاربردهای فوق است. بنابراین برای بهبود انتقال حرارت در کاربردهای یادشده می‌توان از نانوسیال استفاده نمود.

نتایج یک مطالعه‌ی عددی در مورد جابه‌جایی ترکیبی در یک محفظه‌ی مربعی شیبدار که با نانوسیال

فهرست علائم و اختصارات

C_p	گرمای مخصوص در فشار ثابت ($J \text{ kg}^{-1} \text{ K}^{-1}$)
pr	عدد پراتل
Ra	عدد رایلی
g	شتاب جاذبه (ms^{-2})
Re	ضریب انتقال گرمای جابه‌جایی
Ri	عدد رینولدز
L	طول (m)
k	ضریب هدایت گرمایی
α	ضریب نفوذ گرمایی ($\text{m}^2 \text{s}^{-1}$)
β	ضریب انبساط گرمایی (K^{-1})
p	پشار با بعد (N m^{-2})
θ	دما بدون بعد
P	پشار بدون بعد
T	(K) دما
Q	گرمای (kg m^{-3})
u, v	سرعت با بعد (m s^{-1})
U, V	سرعت بدون بعد
U_0	سرعت دریچه
x, y	(m) مختصات با بعد
X, Y	مختصات بدون بعد
Gr	عدد گرافی

۱- مقدمه

در طی سال‌ها، از سیالات متداولی نظیر آب یا روغن به عنوان سیال عامل انتقال حرارت، در سیستم‌های صنعتی استفاده می‌شد. مشکل عمده‌ی این نوع سیالات، رسانش حرارتی کم آنها می‌باشد که منجر به پایین ماندن نرخ انتقال حرارت آنها می‌گردد و همین امر هدف غایی از کاربرد این سیالات در صنعت را به چالش می‌کشد. یکی از روش‌های جدیدی که امروزه برای افزایش رسانش حرارتی این قبیل سیالات و در نتیجه‌ی آن افزایش نرخ انتقال حرارت مورد استفاده قرار می‌گیرد، افزودن ذرات در اندازه‌ی نانو به سیال است، که به تبع آن انتقال حرارت نانوسیال در درون محفظه‌ها و تاثیر خصوصیات ترموفیزیکی آنها از قبیل رسانش حرارتی، لزجت دینامیکی و ضریب انبساط حرارتی مورد بحث و بررسی زیادی قرار گرفته است.

بسیاری از پژوهشگران وجوده مختلفی از خواص نانوسیال را در کاربردهای مختلف مورد بررسی و توجه قرار داده‌اند. در سال‌های اخیر با توجه به ضرورت استفاده از نانوسیالات بالاخص در زمینه بهبود انتقال حرارت، استفاده از نانوسیالات درون محفظه‌ها نیز رایج گردیده و تاثیر درصد حجمی نانوسیال در میزان انتقال حرارت و تغییر در خطوط جریان و دما، به عنوان یکی از پارامترهای مهم مورد مطالعه قرار گرفته است.

1- Hwang

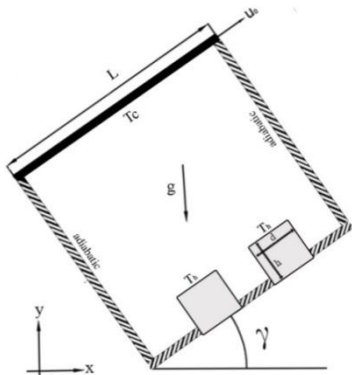
2- Wen and Ding

3- Godson

4- Sarkar

تغییرات کسر حجمی نانوذرات مطالعه شده و نتایج در قالب نمودارهای مختلف ارائه گردیده‌اند.

۲- مدل‌سازی فیزیکی و فرمولاسیون مساله
نمایی از محفظه شیبدار مدل‌سازی شده در این تحقیق در شکل ۱ نشان داده شده است. در این محفظه دیواره‌های جانبی و دیواره‌ی پایینی آدیاباتیک و دیواره‌ی فوقانی در دمای پایین در نظر گرفته شده است. دو مانع مربعی داغ به طول d و ارتفاع h نیز درون محفظه و بر روی دیواره تحتانی قرار گرفته‌اند. لازم به ذکر است دیواره‌ی فوقانی سرد با سرعت ثابت U_0 به سمت راست حرکت می‌کند. محفظه از نانوسیال آب-آلومینا پوشیده است که این نانوذرات به شکل کروی و با اندازه ۴۰ نانومتر مدل‌سازی گردیده‌اند.



شکل (۱): شماتیک محفظه شیبدار مورد مطالعه.

خواص ترموفیزیکی آب و اکسیدآلومینیوم در دمای مرجع در جدول ۱ آمده است. برای نیروی شناوری ایجاد شده از تغییرات چگالی از تقریب بوزینسک استفاده می‌شود. معادلات بقای جرم، مومنتوم در راستای X و Y و انرژی برای حالت جابه‌جایی ترکیبی، سیال غیرقابل تراکم به صورت معادلات (۱) الی (۴) بیان می‌شوند. در این معادلات، جریان در حالت آرام و دائم فرض شده و شرط عدم لغزش بر روی دیواره‌ها برقرار است.

جدول (۱): خواص ترموفیزیکی آب و آلومینیوم اکسید [۱۲].

Physical properties	Fluid phase (Water)	Solid (Al_2O_3)
$C_p(\text{J/kg K})$	۴۱۷۹	۷۶۵
$\rho (\text{kg/m}^3)$	۹۹۷/۱	۳۹۷۰
$K (\text{W m}^{-1} \text{K}^{-1})$.۶	۲۵
$\beta \times 10^{-5} (\text{1/K})$	۲۱	.۸۵
$\mu \times 10^{-4} (\text{kg/ms})$	۸/۹	----
Diameter of nanoparticle(nm)	----	۴۷

مطالعه عددی جابه‌جایی ترکیبی نانوسیال در یک محفظه مربعی با ...

آب-اکسیدآلومینیوم پرشده بود، توسط ابوندا و چامخا^[۷] گزارش شده است. آنها مشاهده کردند که در حضور نانوذرات، انتقال حرارت درون محفظه به صورت چشم‌گیری بهبود می‌یابد. منصور و همکارانش^[۸] یک شبیه‌سازی عددی را درباره جابه‌جایی ترکیبی نانوسیال در یک محفظه مربعی گذاشت. در این محفظه دیواره‌های کناری و بالایی سرد بوده و جداره متوجه پایینی در معرض یک شار حرارتی قرار داشت. آنها دریافتند که با افزایش کسر حجمی نانوذرات، حرکت جریان سیال و همچنین دمای آن کاهش می‌یابد و این در حالی است که عدد ناسلت متوسط متناظر با آن، افزایش می‌یابد.

به تازگی عارفمنش و محمودی^[۹] در یک شبیه‌سازی عددی، به بررسی تاثیرات نامعین مدل‌های ویسکوزیته دینامیکی برای نانوسیال آب-اکسیدآلومینیوم در جابه‌جایی ترکیبی درون محفظه پرداختند. محفظه مربعی مورد مطالعه دارای دیواره سرد در بالا و دیواره‌ی گرم متوجه در پایین بوده و تاثیر کسر حجمی نانوذرات و عدد ریچاردسون با استفاده از دو مدل مختلف ویسکوزیته مورد بررسی قرار گرفته است. آنها دریافتند با افزایش کسر حجمی نانوذرات، مقادیر ناسلت متوسط برای دیواره گرم در هر دو مدل ویسکوزیته افزایش می‌یابد.

قاسمی و امین‌الساداتی^[۱۰] انتقال حرارت جابه‌جایی ترکیبی نانوسیال آب-اکسیدآلومینیوم را داخل یک محفظه مثلثی بررسی نمودند. محفظه آنها دارای یک جداره افقی عایق، یک جداره اریب داغ و یک جداره عمودی متوجه سرد بود. نتایج آنها نشان داد که افزودن نانوذرات نرخ انتقال حرارت را در تمامی اعداد ریچاردسون و تمامی جهت‌های حرکت جداره متوجه، افزایش می‌دهد. همین نتیجه را محمودی^[۱۱] در بررسی‌های خود با نانوسیال مشابه ولی هندسه متفاوت به دست آورد. محفظه مستطیلی که او در نظر گرفت دارای یک دیواره داغ متوجه در پایین و سه دیواره سرد دیگر بود.

در مطالعه حاضر، جریان جابه‌جایی ترکیبی برای نانو سیال اکسیدآلومینیوم-آب با درنظر گرفتن تغییرات خواص، درون یک محفظه مربعی شکل زاویه دار با دو مانع داغ درون آن، به صورت عددی مورد بررسی قرار گرفته است. تأثیر پارامترهای نظری عدد رایلی، شبیه‌سازی مربعی، نسبت منظر مواضع و

$$\begin{aligned} \mu_{H_2O} = & (1.2723 \times T_{rc}^5 - 8.736 \times T_{rc}^4 \\ & + 33.708 \times T_{rc}^3 - 246.6 \times T_{rc}^2 + 518.78 \\ & \times T_{rc} + 1153.9) \times 10^6 \end{aligned} \quad (10)$$

$$Trc = \log(T - 273).$$

ضریب هدایت حرارتی نانوذرات در سیال در حالت سکون از رابطه معروف به همیلتون و کروس [۱۵] بدست می‌آید که:

$$\frac{k_{\text{stationary}}}{k_f} = \frac{k_s + 2k_f - 2\varphi(k_f - k_s)}{k_s + 2k_f + \varphi(k_f - k_s)} \quad (11)$$

این مدل برای محاسبه ضریب هدایت حرارتی توسط زو و همکاران [۱۶] پیشنهاد گردیده است. ترم دوم این معادله ضریب هدایت حرارتی بر پایه جابه‌جایی حرارتی ناشی از حرکت براونی می‌باشد.

$$\begin{aligned} \frac{k_{nf}}{k_f} = & \frac{k_{\text{stationary}}}{k_f} + \frac{k_c}{k_f} = \frac{k_s + 2k_f - 2\varphi(k_f - k_s)}{k_s + 2k_f + \varphi(k_f - k_s)} \\ & + c \frac{Nu_p d_f (2 - D_f) D_f}{Pr (1 - D_f)^2} \left[\left(\frac{d_{\max}}{d_{\min}} \right)^{1-D_f} - 1 \right]^2 \end{aligned} \quad (12)$$

C یک ثابت تجربی است که در ارتباط با لایه مرزی حرارتی و نوع سیال پایه بوده (مثلاً برای آب دیونیزه برابر ۸۵ و برای اتیلن گلیکول ۲۸۰ می‌باشد) ولی مستقل از نوع نانوذرات می‌باشد. Nu_p عدد ناسلت برای سیال در حال گردش در اطراف نانوذرات کروی است و در این مطالعه برابر با دو در نظر گرفته می‌شود.

در مطالعه حاضر قطر ملکولی سیال برای آب برابر $d_f = 4.5 \times 10^{-10} m$ است. میزان بعد فراکتالی D_f نیز از رابطه زیر محاسبه می‌شود:

$$D_f = 2 - \frac{\ln \varphi}{\ln \left(\frac{d_{p,\min}}{d_{p,\max}} \right)} \quad (13)$$

که در آن، $d_{p,\min}$ و $d_{p,\max}$ اندازه قطرهای بیشینه و کمینه نانوذرات معلق در سیال هستند. اندازه‌گیری نسبت این قطرها به وسیله قطر میانگین نانوذرات و روابط زیر صورت می‌گیرد. نسبت R با $d_{p,\min}/d_{p,\max}$ به عنوان توزیع کسری نشان داده شده است.

در این تحقیق از فرمولاسیون خواص متغیر با اندازه نانوذرات ۴۰ نانومتر، نسبت قطرها 0.007 و دمای 300 درجه کلوین استفاده شده است. معادلات حاکم بدون بعد برای جریان تراکم ناپذیر، آرام و پایدار به صورت زیر است:

$$\frac{\partial U}{\partial X} + \frac{\partial V}{\partial Y} = 0 \quad (1)$$

$$U \frac{\partial U}{\partial X} + V \frac{\partial U}{\partial Y} = - \frac{\partial P}{\partial X} + \frac{\nu_{nf}}{\nu_f} \frac{1}{Re} \cdot \nabla^2 U \quad (2)$$

$$U \frac{\partial V}{\partial X} + V \frac{\partial V}{\partial Y} = - \frac{\partial P}{\partial Y} + \frac{\nu_{nf}}{\nu_f} \frac{1}{Re} \cdot \nabla^2 V + \frac{Ri}{Pr} \times \frac{\beta_{nf}}{\beta_f} \Delta \theta \quad (3)$$

$$U \frac{\partial \theta}{\partial X} + V \frac{\partial \theta}{\partial Y} = \frac{\alpha_{nf}}{\alpha_f} \nabla^2 \theta \quad (4)$$

ضریب پخش حرارتی و چگالی موثر نانوسیال عبارتند از:

$$\alpha_{nf} = \frac{k_{nf}}{(\rho c_p)_{nf}} \quad (5)$$

$$\rho_{nf} = \varphi \rho_s + (1 - \varphi) \rho_f \quad (6)$$

در نانو سیالات ظرفیت گرمایی ویژه و ضریب انبساط حرارتی از روابط زیر محاسبه می‌گردد:

$$(\rho c_p)_{nf} = \varphi (\rho c_p)_s + (1 - \varphi) (\rho c_p)_f \quad (7)$$

$$(\rho \beta)_{nf} = \varphi (\rho \beta)_s + (1 - \varphi) (\rho \beta)_f \quad (8)$$

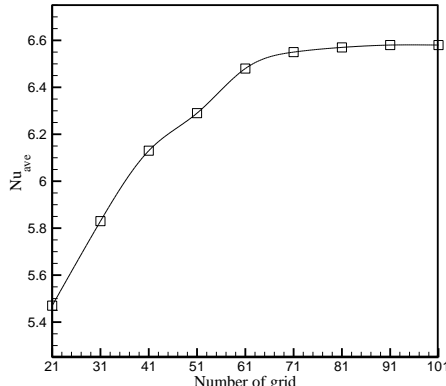
در این تحقیق ویسکوزیته موثر نانوسیال از رابطه زیر محاسبه شده است:

$$\mu_{\text{eff}} = \mu_f (1 + 2.5\varphi) \left[1 + \eta \left(\frac{d_p}{L} \right)^{-2\varepsilon} \varphi^{\frac{2\varepsilon}{3}} (\varepsilon + 1) \right] \quad (9)$$

این مدل معتبر توسط جانگ و همکاران [۱۲] برای سیال پایه خالص دارای ذرات نانوکروی شکل (نانوسیالات) ارائه شده است. برای نانو سیال آب-اکسیدآلومینیوم، ثابت تجربی $\varepsilon = 4$ و $\eta = 0.25$ و ترتیب برابر -0.25 هستند.

ویسکوزیته دینامیکی سیال پایه با رابطه پیشنهاد شده توسط ابوندا و همکاران [۱۴] تخمین زده شده است. نکته مهم در این رابطه تغییر ویسکوزیته سیال پایه (آب) با دما می‌باشد. از رابطه زیر برای محاسبه ویسکوزیته آب استفاده می‌شود:

$\gamma = 30^0$ و $h=0.1$. $Re=10$. $Ra=10^5$ به دست آمده و در شکل ۲ رسم گردیده است.



شکل (۲): ارزیابی استقلال شبکه در اندازه شبکه‌های مختلف.

همان‌گونه که در شکل مشخص است، شبکه نقاط 81×81 با توجه به دقت قابل قبول نتایج از یک سو و افزایش شدید زمان حل برنامه کامپیوتوری با افزایش تعداد نقاط شبکه از سوی دیگر برای حل مساله انتخاب شده است.

برای اطمینان از صحت نتایج برنامه کامپیوتوری، به حل عددی مساله انتقال حرارت جابه‌جایی آزاد هوا در یک محفظه مربع شکل با دیواره‌ی متحرك داغ در بالا و دیواره‌ی سرد در پایین می‌پردازیم. این مساله توسط محققین بسیاری از جمله مرجع [۱۷] حل شده است. مقایسه میان میزان عدد ناسلت متوسط تحقیق حاضر و سایر تحقیقات در جدول ۲ آورده شده است که انطباق خوبی را میان نتایج کد حاضر با نتایج سایر مراجع نشان می‌دهد.

به‌منظور اعتبارسنجی و تحقیق صحت و دقت کد کامپیوتوری مورد استفاده در این مدل‌سازی، به حل عددی و آنالیز یک محفظه ساده پرشده با سیال پایه با $Pr = 0.7$ در رایلی‌های مختلف می‌پردازیم. جدول ۲ بیان‌گر مقایسه میان نتایج حاصله از کار حاضر با سایر پژوهش‌هایی است که در منابع مختلف آمده است. ارزیابی میزان ناسلت به دست آمده، نشان‌دهنده انطباق و همخوانی بسیار مطلوب میان کد مورد استفاده در این تحقیق و سایر مراجع است.

همچنین برای اطمینان بیشتر، روش عددی پیشنهادی در این پژوهش با استفاده از نتایج شبیه‌سازی دیگری که توسط طالبی و همکاران [۱۸] ارائه گردیده اعتبارسنجی شده است. نتایج این اعتبارسنجی در شکل ۳ قابل مشاهده است. واضح است که کد حاضر تطبیق فوق العاده‌ای با نتایج مطالعه مذکور نشان می‌دهد.

$$d_{p,\max} = d_p \cdot \frac{D_f - 1}{D_f} \left(\frac{d_{p,\min}}{d_{p,\max}} \right)^{-1} \quad (14)$$

$$d_{p,\min} = d_p \cdot \frac{D_f - 1}{D_f} \quad (15)$$

عدد ناسلت:

$$Nu = \frac{hL}{k_f} \quad (16)$$

که در آن، ضریب جابه‌جایی حرارتی h و ضریب هدایت حرارتی از روابط زیر محاسبه می‌شوند:

$$h = \frac{q_w}{T_h - T_c} \quad (17)$$

$$k_{nf} = \frac{-q_w}{\partial T / \partial x} \quad (18)$$

با جایگذاری معادلات (۱۴-۱۵) در معادله ۱۶، عدد ناسلت برای دیواره داغ سمت چپ به صورت زیر محاسبه می‌شود:

$$Nu = - \left(\frac{k_{nf}}{k_f} \right) \left(\frac{\partial \theta}{\partial X} \right) \quad (19)$$

مقدار عدد ناسلت متوسط هم از معادله ۲۰ به دست می‌آید:

$$Nu_m = \frac{1}{L} \int_0^L Nu dY \quad (20)$$

۳- روش عددی و معتبرسازی نتایج

در تحقیق حاضر، برای انجام محاسبات از کد کامپیوتوری به زبان فرتون استفاده شده است. معادلات پیوستگی، ممنتوم و انرژی به همراه شرائط مرزی به وسیله روش حجم محدود با سیستم شبکه جابه‌جایی شده به صورت عددی حل شده‌اند. برنامه کامپیوتوری براساس الگوریتم سیمپلر به حل همزمان معادلات انضال می‌پردازد.

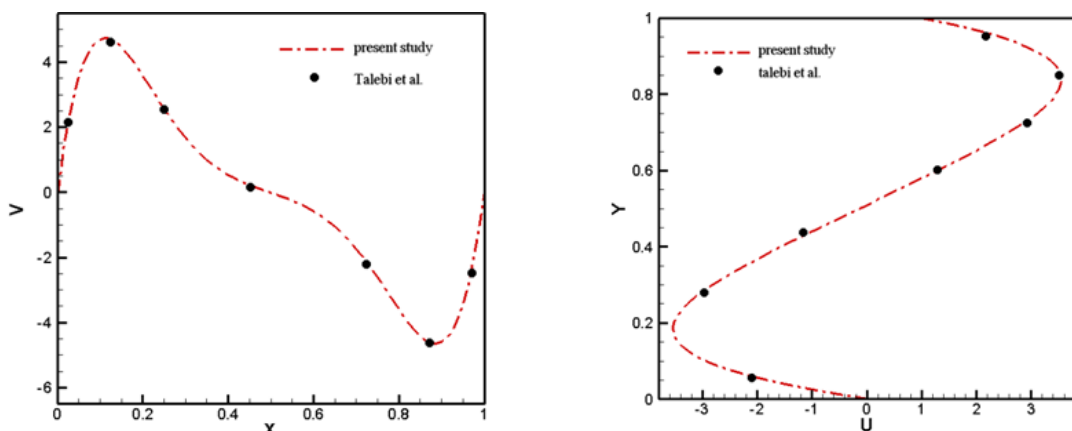
ترم جابه‌جایی با استفاده از طرح هیبریدی که تلفیقی از طرح‌های تفضیل مرکزی و طرح پیشرو است تقریب زده می‌شود. در تحقیق حاضر مقدار خطای نسبی در تکرارهای متوالی، به عنوان معیار همگرائی، به صورت زیر قرار داده شده است:

$$Error < 10^{-7} \quad (21)$$

به‌منظور دستیابی به استقلال شبکه، روش عددی برای ۹ اندازه شبکه مختلف مورد ارزیابی قرار گرفت. برای هر یک از این حالات، ناسلت متوسط برای دیواره‌ی داغ در

جدول (۲): مقایسه نتایج مطالعه حاضر و سایر تحقیقات صورت گرفت.

	Present study	Lin et al. (2010)	Tiwari and Das (2007)	Hadjisophocleous et al. [17] (1998)
(a) $Ra = 10^4$				
u_{max}	۱۶/۰۵۲	۱۶/۱۵۸	۱۶/۱۴۳۹	۱۵/۹۹۵
Y	۰/۸۱۷	۰/۸۱۹	۰/۸۲۲	۰/۸۱۴
v_{max}	۱۹/۵۲۸	۱۹/۶۴۸	۱۹/۶۶۵	۱۸/۸۹۴
X	۰/۱۱۰	۰/۱۱۲	۰/۱۱۰	۰/۱۰۳
Nu_{ave}	۲/۲۱۵	۲/۲۴۳	۲/۱۹۵	۲/۲۹
(b) $Ra = 10^5$				
u_{max}	۳۶/۸۱۲	۳۶/۷۳۲	۳۴/۳۰	۳۷/۱۴۴
Y	۰/۸۵۶	۰/۸۵۸	۰/۸۵۶	۰/۸۵۵
v_{max}	۶۸/۷۹۱	۶۸/۲۸۸	۶۸/۷۶۴۶	۶۸/۹۱
X	۰/۰۶۲	۰/۰۶۳	۰/۰۵۹۳۵	۰/۰۶۱
Nu_{ave}	۴/۵۱۷	۴/۵۱۱	۴/۴۵۰	۴/۹۶۴
(c) $Ra = 10^6$				
u_{max}	۶۶/۴۴۵	۶۶/۴۶۹۸۷	۶۵/۵۸۶۶	۶۶/۴۲
Y	۰/۸۷۳	۰/۸۶۸۵۱	۰/۸۳۹	۰/۸۹۷
v_{max}	۲۲۱/۷۴۸	۲۲۲/۳۳۹۵	۲۱۹/۷۳۶۱	۲۲۶/۴
X	۰/۰۳۹۸	۰/۰۳۸۰۴	۰/۰۴۲۳۷	۰/۰۲۰۶
Nu_{ave}	۸/۷۹۵	۸/۷۵۷۹۳۳	۸/۸۰۳	۱۰/۳۹

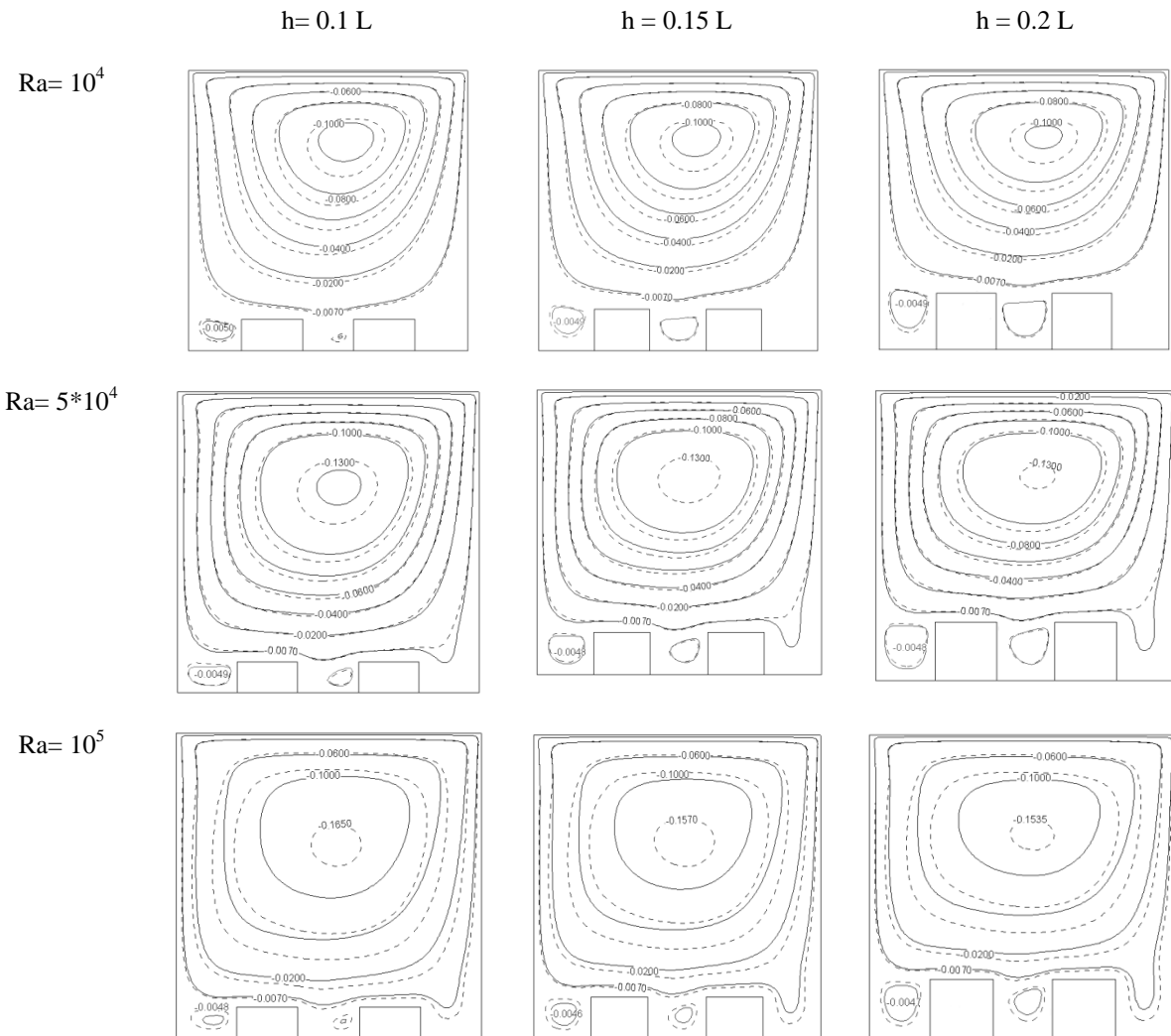
شکل (۳): مقایسه میان تحقیق حاضر و نتایج طالبی و همکاران [۱۸] در $Re=1$, $Ra=1.47*10^4$, $\varphi=0.03$

فضای محفظه را اشغال نموده است. دو گردابه کوچک نیز در فضای بین دو مانع و در فاصله میان مانع و دیواره سمت چپ پدید می‌آید. افزوده شدن ارتفاع موانع داغ تاثیر چندانی در شکل و اندازه‌ی گردابه درون محفظه ندارد. وجود ذرات نانو در سیال نیز تنها شدت و اندازه‌ی گردابه را اندکی افزایش می‌دهد در حالی که تغییری در الگوی جریان ایجاد نمی‌کند. با افزایش عدد رایلی، قدرت گردابه مرکزی به دلیل افزایش نیروی شناوری و هم‌راستایی آن با نیروی برشی، افزایش یافته و کل محفظه توسط این گردابه اشغال شده است. وجود نانوسیال در این محدوده‌ی پارامترها نیز باعث تغییر در الگوی جریان نمی‌گردد و تنها قدرت گردابه را افزایش می‌دهد.

۴- تحلیل و بررسی نتایج

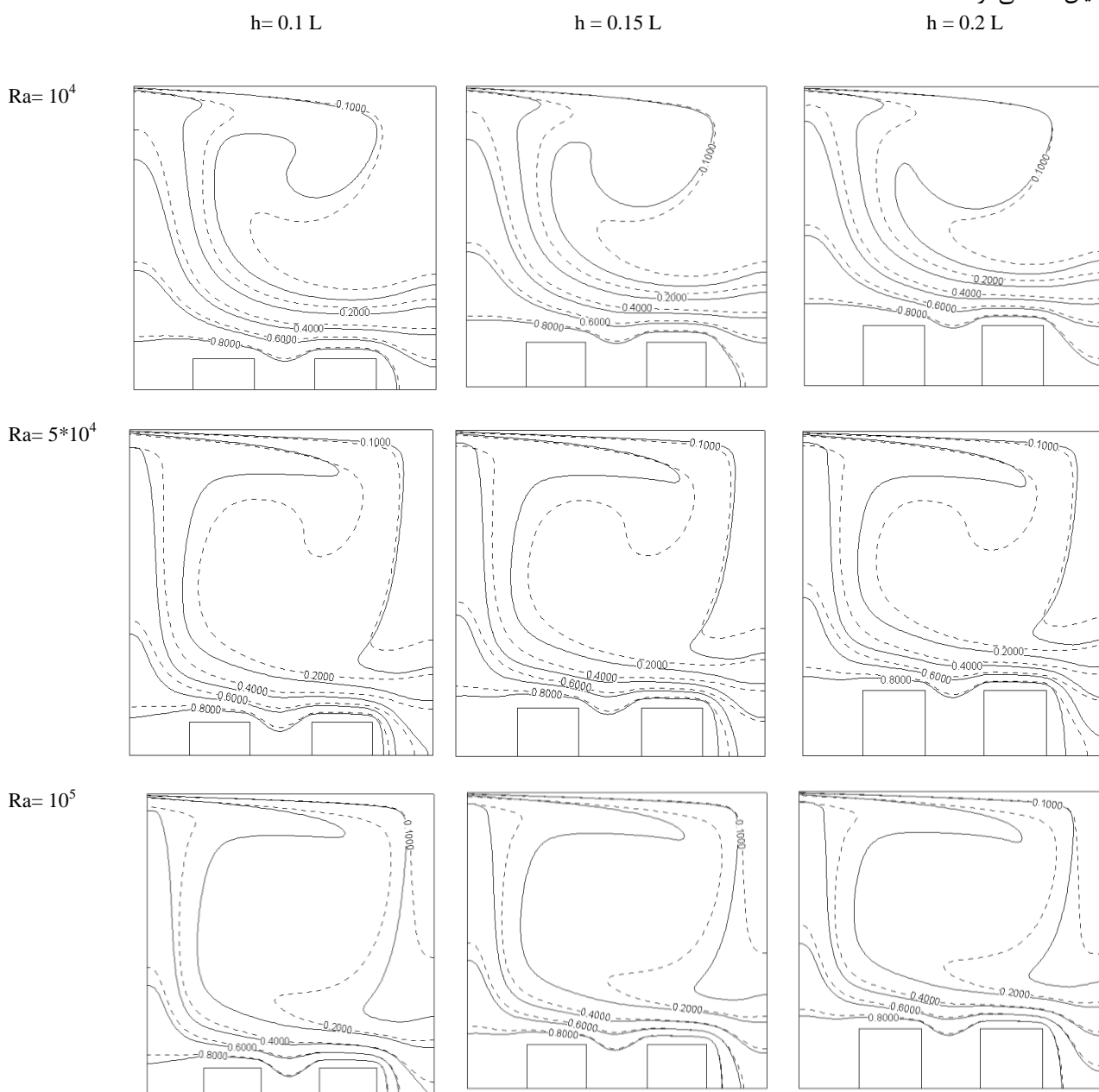
در این نوشتار، انتقال حرارت و جریان جابه‌جایی ترکیبی درون محفظه شیبدار پرشده از نانوسیال به همراه دو مانع داغ مربعی مورد مطالعه قرار گرفته است.

شکل ۴ تغییرات خطوط جریان را در ارتفاع‌های مختلف موانع داغ و رایلی‌های مختلف در رینولدز ۵۰ و حالت افقی استقرار محفظه نشان می‌دهد. خطوط جریان مربوط به سیال پایه با خط ممتد و خطوط مربوط به نانوسیال با کسر حجمی 0.06 با خط‌چین نشان داده شده است. در $Ra = 10^4$ الگوی جریان نشان‌دهنده تشکیل یک گردابه مرکزی ساعت‌گرد متقارن به‌وسیله نیروی برشی ناشی از حرکت دیواره و نیروی شناوری ناشی از اختلاف دما می‌باشد. این گردابه تقریباً تمامی



شکل (۴): تغییرات خطوط جریان در ارتفاع‌های مختلف ممانع داغ و رایلی‌های مختلف در رینولدز ۵۰، کسر حجمی 0.06 و حالت افقی استقرار محفظه.

در شکل ۶ خطوط جریان برای رایلی‌ها و زوایای شبیه مختلف در $10 \leq Re \leq 10^5$ و $h = 0.15 L$ نشان داده شده است. با افزایش شبیه محفظه، نیروی شناوری و برشی که در حالت افقی در یک راستا و همجهت با یکدیگر عمل می‌کردند، در جهت مقابله هم عمل می‌کنند. همان‌گونه که در شکل‌ها مشخص است در حالت افقی قرارگیری محفظه، یک گردابه اصلی در محفظه به وجود آمده است، در حالی که با افزایش زاویه، در $Ra=10^4$ ، این گردابه به دو گردابه مجزا می‌شکند که یکی در قسمت فوقانی و دیگری در قسمت تحتانی محفظه واقع شده است.



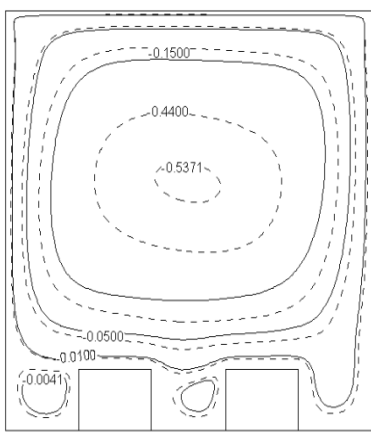
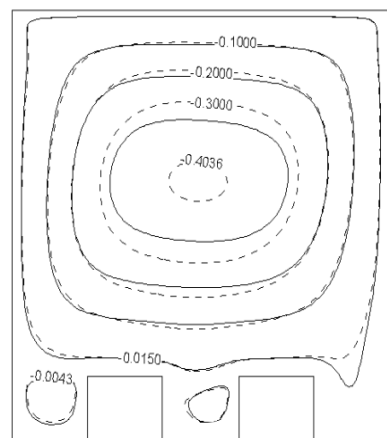
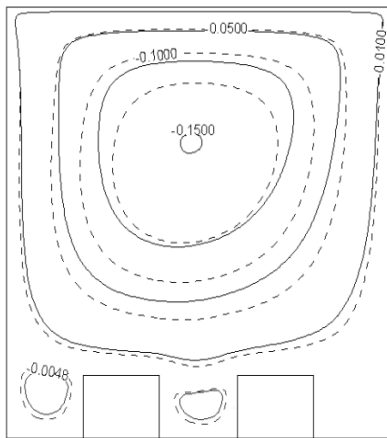
شکل (۵): خطوط دمای متناظر با خطوط جریان در ارتفاع های مختلف مانع داغ و رایلی های مختلف در رینولدز 50×0.06 و حالت افقی استقرار محفظه.

شکل ۵ خطوط دمای متناظر با خطوط جریان در شکل ۴ را نشان می‌دهد. همان‌گونه که در این شکل‌ها مشخص است با افزایش رایلی، خطوط هم‌دما در نزدیکی دیوارهای موانع متراکم شده و گرادیان دما افزایش می‌یابد، بنابراین انتظار می‌رود با افزایش رایلی میزان انتقال حرارت افزایش یابد. از سوی دیگر تراکم خطوط هم‌دما در نزدیکی دیوارهای غیرآدیاباتیک در سیال پایه بیشتر از نانوسیال است که این مسئله به علت افزایش هدایت حرارتی نانوسیال نسبت به سیال پایه می‌باشد. افزایش ارتفاع مانع داغ نیز، باعث بازشدن خطوط هم‌دما در نزدیکی دیوارهای داغ شده و موجب کاهش گرادیان دما می‌گردد.

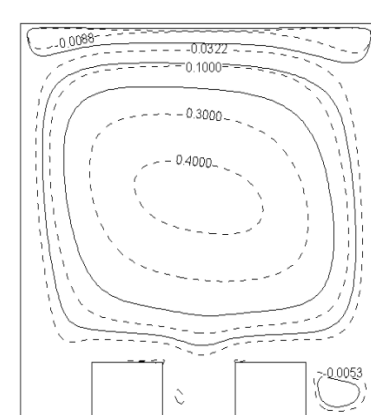
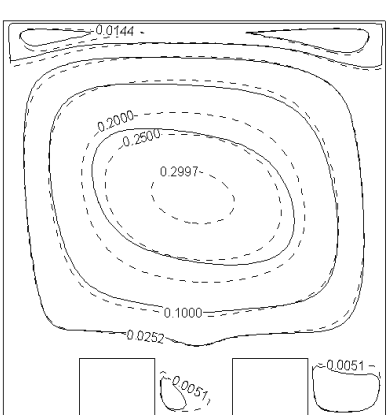
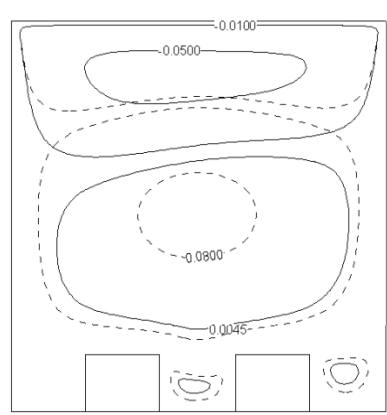
$$h = 0.2 L$$

$Ra = 10^4$ $Ra = 5 \times 10^4$ $Ra = 10^5$

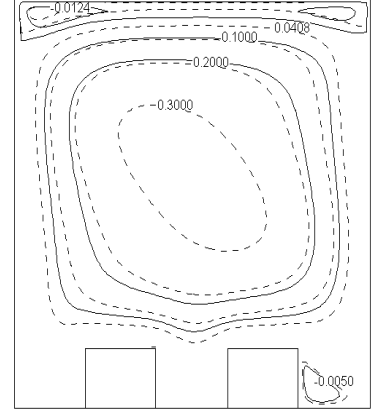
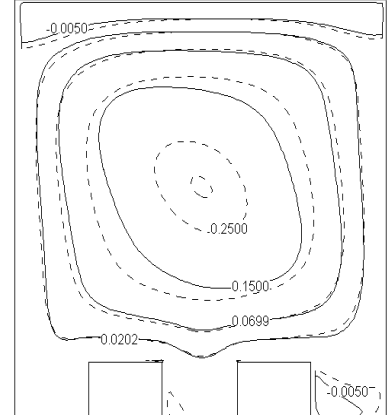
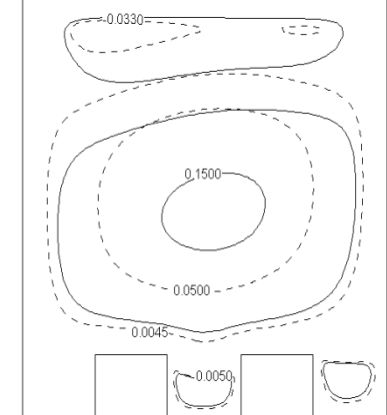
Teta=0



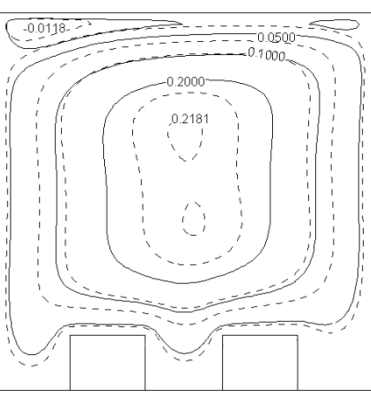
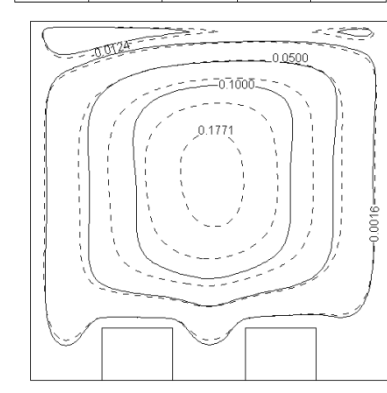
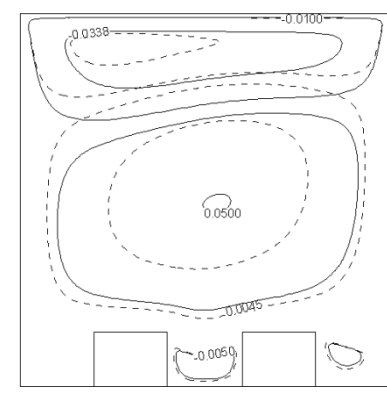
Teta=30



Teta=60

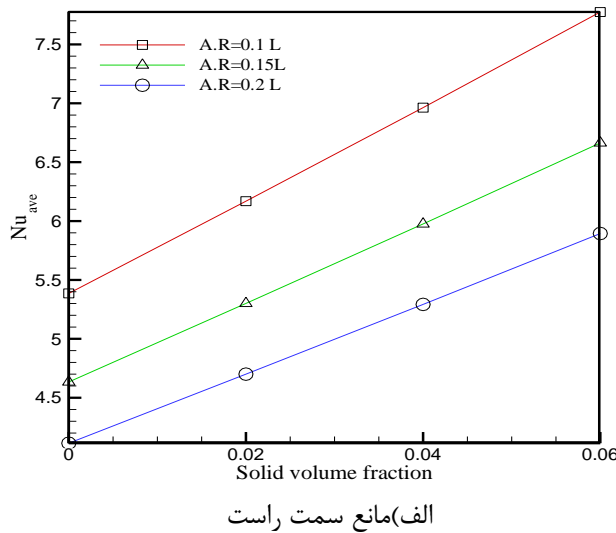


Teta=90

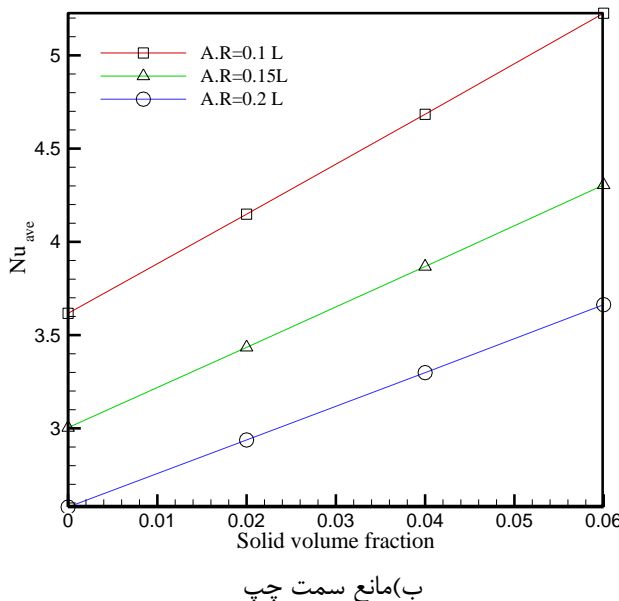


شکل (۶): خطوط جریان برای رایلی‌ها و زوایای شیب مختلف در کسر حجمی $0.06/0.06$ ، $h = 0.15$ L و $Re = 10$

رینولذز 10^0 ، رایلی 10^5 و زاویه استقرار صفر درجه^۴، رسم گردیده است. همان‌گونه که مشاهده می‌شود سرعت در مرکز محفظه بسیار ناچیز بوده و با حرکت به سمت دیواره‌های چپ و راست، مولفه سرعت عمودی در جهت‌های مخالف افزایش می‌یابد. از سوی دیگر با افزایش کسر حجمی نانوذرات معلق در سیال، سرعت عمودی سیال درون محفظه افزایش می‌یابد.



الف)مانع سمت راست



ب)مانع سمت چپ

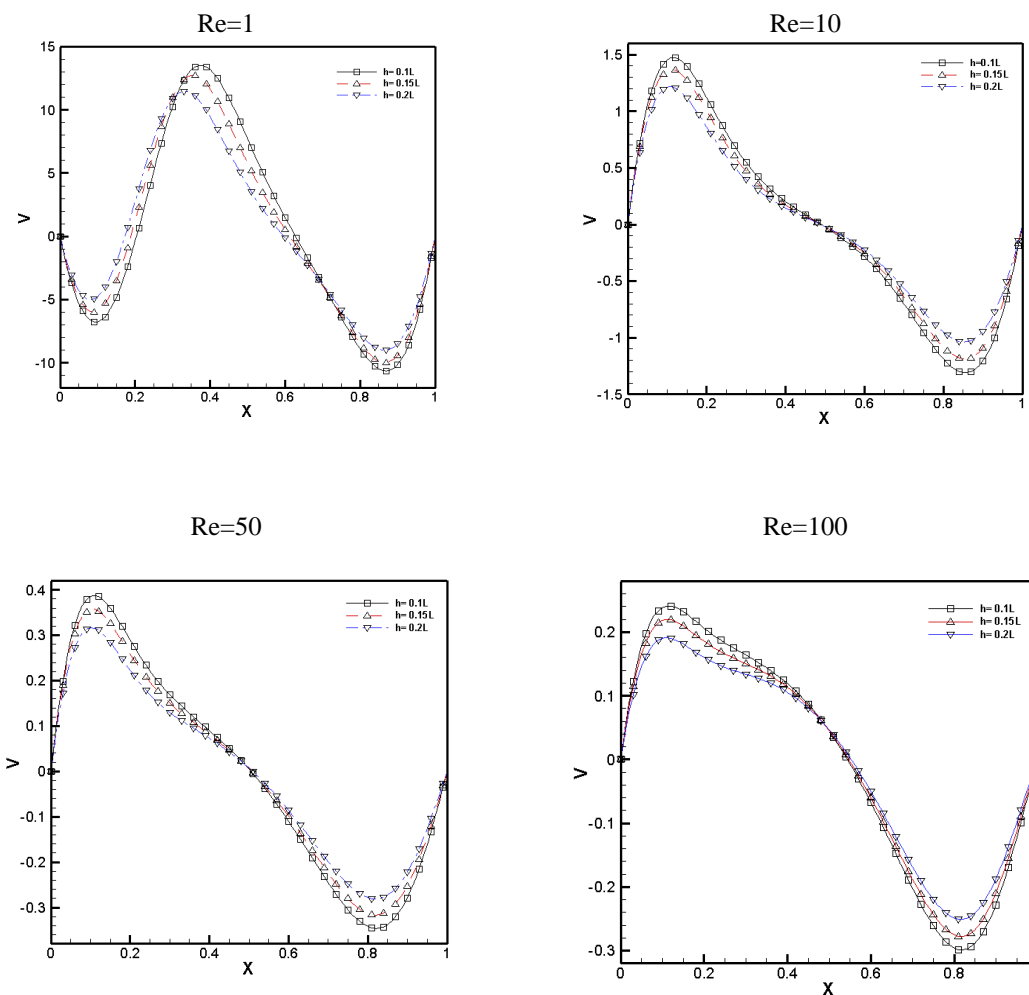
شکل (۷): تغییرات ناسلت متوسط بر حسب کسر حجمی برای ارتفاع‌های مختلف موانع مربعی در $Re=50$ و $Ra=10^4$ و $\gamma=0^0$.

گردابه فوقانی در محفظه تحت تاثیر نیروی برشی ناشی از حرکت دیواره و گردابه تحتانی ناشی از نیروی شناوری می‌باشد. در تمامی شیب‌های مورد بررسی، با افزایش رایلی، گردابه پایینی رشد کرده و گردابه فوقانی ضعیفتر می‌گردد. علت این مسئله، تقویت نیروی شناوری در مقابل نیروی برشی موجود در محفظه می‌باشد. تاثیر وجود نانوسیال بر الگوی جریان را می‌توان به روشنی در خطوط جریان تمامی شیب‌های مورد بررسی، مشاهده نمود. در $Ra=10^4$ وجود نانوسیال نسبت به سیال پایه، باعث رشد گردابه زیرین گردیده و در مقابل گردابه فوقانی را ضعیف نموده است. این موضوع بهدلیل تاثیر پذیری نانوسیال از نیروی شناوری نسبت به نیروی برشی اتفاق می‌افتد. در $Ra=5*10^4$ و $Ra=10^5$ نیز وجود نانوسیال در زوایای مختلف گردابه‌ی زیرین را تقویت نموده و باعث ضعیف شدن گردابه فوقانی در مقایسه با سیال پایه می‌گردد. ضعیف و کوچک شدن گردابه فوقانی در برخی حالات نیز منجر به تقسیم این گردابه، به دو گردابه بسیار کوچک می‌گردد.

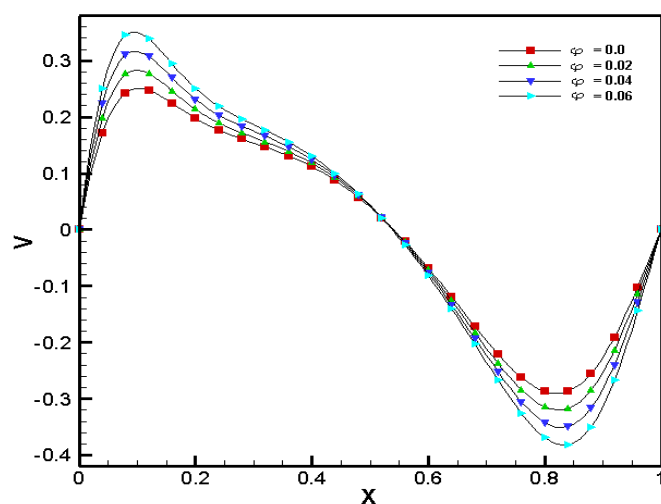
تغییرات ناسلت متوسط بر حسب کسر حجمی برای ارتفاع‌های مختلف مowanع مربعی در $Re=50$ و $Ra=10^4$ و $\gamma=0^0$ به صورت مجزا برای موانع سمت چپ و راست در شکل ۷ نشان داده شده است. در این نمودارها مشاهده می‌شود، انتقال حرارت در مانع سمت راست از مانع سمت چپ بیشتر است. همان‌گونه که پیشتر در شکل ۴ نشان داده شد در این محدوده از پارامترها، در محفظه یک گردابه اصلی ساعت‌گرد وجود دارد که جهت ساعت‌گرد گردش این گردابه باعث افزایش میزان انتقال حرارت مانع سمت راست نسبت به مانع سمت چپ می‌شود. افزایش کسر حجمی نانوذرات معلق در سیال و همچنین کاهش ارتفاع موانع، باعث افزایش عدد ناسلت متوسط و درنتیجه انتقال حرارت می‌گردد.

نمودارهای سرعت عمودی در خط میانی برای ارتفاع‌های مختلف مانع در رایلی $5*10^4$ و در کسر حجمی $0/04$ برای اعداد رینولذز مختلف در حالت استقرار افقی محفوظه در شکل ۸ نشان داده شده است. همانگونه که در شکل‌ها مشخص است با افزایش ارتفاع مانع داغ، در تمامی اعداد رینولذز، سرعت در جهت عمودی کاهش می‌یابد. سرعت‌های عمودی به‌غیر از $Re=1$ نسبت به مرکز محفوظه متقارن است و جهت حرکت نیز در $Re=1$ با سایر اشکال متفاوت است.

مولفه سرعت عمودی حرکت نانوسیال درون محفظه بر حسب طول در شکل ۹ برای کسرهای حجمی مختلف در



شکل (۸): نمودارهای سرعت عمودی در خط میانی برای ارتفاعهای مختلف مانع در رایلی 5×10^4 و در کسر حجمی 40° برای اعداد رینولدز مختلف در حالت استقرار افقی محفظه.



شکل (۹): مولفه سرعت عمودی حرکت نانوپیال درون محفظه بر حسب طول برای کسرهای حجمی مختلف در رینولدز 100° ، رایلی 10° و زاویه استقرار صفر درجه.

- Mixed Convection Flows in a Square Lid-Driven Cavity Partially Heated from Below Using Nanofluid”, International Communications in Heat and Mass Transfer, Vol. 37, No. 10, pp. 1504–1512, 2010.
9. Arefmanesh, A. and Mahmoodi, M. “Effects of Uncertainties of Viscosity Models for Al₂O₃-Water Nanofluid on Mixed Convection Numerical Simulations”, Int. J. Thermal Sci. Vol. 50, No. 9, pp. 1706–1719, 2011.
 10. Ghasemi, B. and Aminossadati, S.M. “Mixed Convection in a Lid-Driven Triangular Enclosure Filled with Nanofluids”, International Communications in Heat and Mass Transfer, Vol. 37, No. 8, pp. 1142–1148, 2010.
 11. Mahmoodi, M. “Mixed Convection Inside Nanofluid Filled Rectangular Enclosures with Moving Bottom Wall”, Thermal Science, Vol. 15, No. 3, pp. 889–903, 2011.
 12. Hosseini, S.A., Yekani, M.K., Hosseini, S.M.S., Bidgoli, M.R. and Hemmat, M. ”Heat Transfer Performance of Al₂O₃ – Water Nanofluid”, Archive Des Sciences, pp. 1661–464x, 2012.
 13. Jang, S.P., Lee, J.H., Hwang, K.S., and Choi, S.U.S. “Particle Concentration and Tube Size Dependence of Viscosities of Al₂O₃-Water Nanofluids Flowing Through Micro-and Minitubes”, Appl. Phys. Lett., Vol. 91, No. 24, pp. 24–31, 2007.
 14. Abu-Nada, E., Masoud, Z., Oztop, H.F., and Compo, A. “Effect of Nanofluid Variable Properties on Natural Convection in Enclosures”, Int. J. Thermal Sci., Vol. 49, No. 3, pp. 479–491, 2010.
 15. Hamilton, R.L. and Crosser, O.K. “Thermal Conductivity of Heterogeneous Two Component Systems”, Indus. Eng. Chem. Fund. Vol. 1, No. 3, pp. 187–191, 1962.
 16. Xu, J., Yu, B., Zou, M., and Xu, P. “A New Model for Heat Conduction of Nanofluids Based on Fractal Distributions of Nanoparticles”, J. Phys. D., Vol. 39, No. 20, pp. 4486–4490, 2006.
 17. Hadjisophocleous, G.V., Sousa, A.C.M., and Venart, J.E.S. “Prediction of Transient Natural Convection in Enclosures of Arbitrary Geometry Using a Nonorthogonal Numerical Model”, Heat Trans. A., Vol. 13, No. 3, pp. 373–392, 1998.
 18. Talebi, F., Mahmoudi, A.H., and Shahi, M. “Numerical Study of Mixed Convection Flows in a Square Lid-Driven Cavity Utilizing Nanofluid”, International Communications in Heat and Mass Transfer, vol. 37, No. 1, pp. 79–90, 2010.

۵- نتیجه‌گیری

در این تحقیق، انتقال حرارت و جریان جابه‌جایی ترکیبی درون محفظه شبیدار پرشده از نانو سیال به همراه دو مانع داغ مربعی به صورت عددی شبیه‌سازی و نتایج مورد بررسی قرار گرفت. موارد زیر به عنوان نتایج این تحقیق ذکر می‌گردد:

- ۱- افزودن نانوذرات به سیال پایه باعث افزایش عدد ناسلت و انتقال حرارت در تمامی پارامترهای مورد مطالعه این تحقیق می‌گردد.
- ۲- افزایش کسر حجمی در اعداد رایلی مختلف، باعث افزایش انتقال حرارت میان هر دو مانع و نانو سیال می‌گردد.
- ۳- با توجه به تعداد و جهت گردابه‌های ایجاد شده در محفظه، رخ انتقال حرارت مانع سمت راست و چپ تغییر می‌کند.
- ۴- افزایش عدد رایلی موجب افزایش انتقال حرارت در محفظه می‌گردد که نسبت این افزایش در کسرهای حجمی بالاتر بسیار بیشتر از کسرهای حجمی پایین‌تر است.

۶- مراجع

1. Hwang, K.S., Lee, J.H., and Jang, S.P. “Buoyancy-Driven Heat Transfer of Water-Based Al₂O₃ Nanofluids in a Rectangular Cavity”, Int. J. Heat Mass Transfer, Vol. 50, No's. 19-20, pp. 4003–4010, 2007.
2. Wen, D. and Ding, Y. “Natural Convective Heat Transfer of Suspensions of Titanium Dioxide Nanoparticles (Nanofluids)”, IEEE Transport Nanotechnology, Vol. 5, No. 3, pp. 220–227, 2006.
3. Khanafer, K., Vafai, K. and Lightstone, M. “Buoyancy-Driven Heat Transfer Enhancement in a Two-Dimensional Enclosure Utilizing Nanofluids”, International Journal of Heat and Mass Transfer, Vol. 46, No. 19, pp. 3639–3653, 2003.
4. Godson, L., Raja, B., Lal, D.M., and Wong wises, S. “Enhancement of Heat Transfer Using Nanofluids-An Overview”, Renew. Sust. Energy Rev., Vol. 14, No. 2, pp. 629–641, 2010.
5. Sarkar, J.A. “A Critical Review on Convective Heat Transfer Correlations of Nanofluids”, Renew. Sust. Energy Rev., Vol. 15, No. 6, pp. 3271–3277, 2011.
6. Mohammed, H.A., Bhaskaran G., Shuaib, N.H., and Saidur, R. “Heat Transfer and Fluid Flow Characteristics in Micro Channels Heat Exchanger Using Nanofluids?”, Renewable and Sustainable Energy Reviews, Vol. 15, No. 3, pp. 1502–1512, 2011.
7. Abu-Nada, E. and Chamkha, A.J. “Mixed Convection Flow in a Lid Driven Square Enclosure Filled with a Nanofluid”, Eur. J. Mech. B-Fluid, Vol. 29, No. 6, pp. 472–482, 2010.
8. Mansour, M.A., Mohamed, R.A., Abd-Elaziz, M.M. and Ahmed, S.E., “Numerical Simulation of